

КОНВЕКЦИЯ СТРАТИФИЦИРОВАННОЙ КОЛЛОИДНОЙ СУСПЕНЗИИ

*И. Н. Черепанов, Б. Л. Смородин**

*Пермский государственный национальный исследовательский университет
614990, Пермь, Россия*

Поступила в редакцию 13 марта 2013 г.

Изучена конвекция коллоидной суспензии, представляющей собой бинарную смесь — среду-носитель с примесью наночастиц, обладающих большим положительным значением термодиффузионного параметра. Рассмотрение проведено для случая подогрева снизу горизонтальной ячейки и периодических условий на вертикальных границах, соответствующих экспериментальной ситуации кольцевых каналов. Для колебательных и монотонных режимов конвекции коллоидной смеси построены бифуркационные диаграммы и получены зависимости от времени максимальной функции тока и функции тока в фиксированной точке ячейки, а также пространственные распределения поля концентрации коллоидной примеси. Показано, что в некоторой области параметров задачи (чисел Больцмана и Рэлея, характеризующих гравитационное расслоение и интенсивность теплового воздействия) существует устойчивый режим бегущих волн.

DOI: 10.7868/S0044451013110205

1. ВВЕДЕНИЕ

В однородных жидкостях с линейной зависимостью плотности от температуры (вода вдали от точки аномалии плотности, спирт) стационарная конвекция возникает в результате суперкритической бифуркации. Более сложная зависимость плотности жидкости от температуры или дополнительная зависимость плотности от концентрации приводит к возможности субкритического возникновения конвекции и существованию множества конвективных режимов течения различной сложности. Это происходит в воде в окрестности 4 °С [1, 2] или в бинарных смесях [3–8]. Сложное поведение конвективных течений в смесях связано с явлением термодиффузии, при котором приложенный градиент температуры вызывает появление градиента концентрации [9–11]. Большое внимание в последнее десятилетие уделяется теоретическому [12–14] и экспериментальному [15, 16] исследованию коллоидных бинарных смесей, в частности феррожидкостей (магнитных коллоидов) [17]. При классическом рассмотрении феррожидкость считается однородной [18], в то время как в двухкомпонентной модели (среда-носитель и коллоидные частицы) учитывается стратификация

смеси, связанная с магнитофорезом [17], гравитационным расслоением [12, 13], термодиффузионным разделением [12, 14–16].

В отсутствие магнитного поля феррожидкости ведут себя подобно другим коллоидным суспензиям, что позволяет описывать их на основе единой модели [12], учитывающей только термодиффузионный и гравитационный механизмы стратификации.

Большое различие в размерах частиц молекулярных и коллоидных бинарных смесей, а следовательно, большое различие коэффициентов диффузии приводят к различному поведению конвективных течений в этих средах. В работе [13] показано, что гравитационная стратификация разрушает зеркально-сдвиговую симметрию конвективных режимов, присущих молекулярным бинарным смесям [4]. Линейная теория конвективной устойчивости коллоидной смеси в условиях гравитационного расслоения и термодиффузии рассмотрена в работе [12]. Различные (монотонные и колебательные) нелинейные конвективные течения изучены в [12, 13].

В работе [14] сделана попытка описать конвекцию коллоидной суспензии при действии двух противоположно направленных процессов: гравитационной седиментации и термодиффузионного потока частиц, направленного к верхней холодной границе (положительный коэффициент термодиффузии Соре). Однако решение задачи в [14] было основа-

*E-mail: bsmorodin@yandex.ru

но на предположении, что поле концентрации хорошо описывается первой пространственной гармоникой, что противоречит теоретической модели [4], учитывающей сильную пространственную нелинейность концентрации и хорошо описывающей экспериментальные данные, касающиеся конвекции в бинарных смесях [19]. Кроме того, в [14] для горизонтального слоя получен устойчивый колебательный конвективный режим стоячей волны, не характерный для бинарных смесей, заполняющих кольцевые каналы. В неравномерно нагретой бинарной смеси с аномальной термодиффузией или в гравитационно стратифицированной коллоидной суспензии устанавливается бегущая волна [13, 19], порог возникновения которой отличается от критического значения бифуркационного параметра, предсказанного линейной теорией устойчивости, и определяется нелинейной эволюцией течения. Исследование поведения подобных течений аналитическими методами возможно лишь для специально подобранного набора значений определяющих параметров. Эффективными являются методы численного анализа, например, основанные на использовании конечно-разностной техники [4, 7, 12, 13].

В данной работе проведено численное моделирование конвекции коллоидной суспензии, частицы которой имеют большой положительный коэффициент термодиффузии. Коллоидная бинарная смесь заполняет горизонтальный слой и подвержена стратификации в поле тяжести. В зависимости от соотношения параметров задачи, характеризующих оседание частиц в поле тяжести и термодиффузионное разделение, в состоянии механического равновесия тяжелая примесь частиц может собираться у верхней (холодной) либо нижней (нагретой) границы, что качественно меняет характер конвекции в системе. В первом случае создается неустойчивая стратификация смеси, и конвекция возникает в результате суперкритической бифуркации вследствие нарастания монотонных возмущений. Если тяжелая примесь собирается у нагретой границы, то конвекция возникает в результате субкритической бифуркации и в некотором интервале чисел Рэлея существуют устойчивые бегущие волны.

2. ПОСТАНОВКА ЗАДАЧИ

Рассмотрим горизонтальный бесконечный плоский слой коллоидной суспензии, ограниченный сверху и снизу твердыми границами. Слой находится в поле тяжести \mathbf{g} . На горизонтальных непроницаемых

идеально теплопроводящих границах $z = 0$, $z = d$ (d — толщина слоя) поддерживаются постоянные, но разные температуры $T(0) = \Theta/2$ и $T(d) = -\Theta/2$, что обеспечивает неравномерный нагрев жидкости. Неоднородность концентрации в нашем случае создается двумя механизмами: гравитационной стратификацией коллоида [12] и нормальным эффектом термодиффузии Соре [11].

Будем исходить из уравнений конвекции бинарной смеси в приближении Буссинеска [9–11, 20], в котором предполагается линейная зависимость плотности от температуры и концентрации:

$$\rho = \rho_0(1 - \alpha\delta T + \beta\delta C), \quad (1)$$

где ρ_0 — средняя плотность, $\delta T = T - T_*$ и $\delta C = C - C_*$ — отклонение температуры и концентрации тяжелой компоненты от средних значений T_* и C_* , α и β — соответственно коэффициенты теплового и концентрационного расширения.

Используем безразмерные переменные на основе следующих масштабов: расстояния d , времени d^2/χ , скорости χ/d , температуры Θ , давления $\rho\chi^2/d^2$, концентрации C_*d/l (χ — коэффициент температуропроводности), $l = k_B T_*/\Delta\rho Vg$ — седиментационная длина [12] (k_B — постоянная Больцмана, $\Delta\rho$ — разность плотностей частиц и среды-носителя, V — объем частицы). Безразмерная система уравнений конвекции смеси в приближении Буссинеска имеет вид

$$\begin{aligned} \frac{\partial \mathbf{v}}{\partial t} + (\mathbf{v} \cdot \nabla) \mathbf{v} &= \\ &= -\nabla p + \text{Pr} \Delta \mathbf{v} + \text{Pr}(\text{Ra} T - \text{Vm} C) \mathbf{e}, \\ \frac{\partial T}{\partial t} + (\mathbf{v} \cdot \nabla) T &= \Delta T, \quad \mathbf{e} = (0, 0, 1), \\ \frac{\partial C}{\partial t} + (\mathbf{v} \cdot \nabla) C &= \\ &= \text{Le} \left[\Delta \left(C + \psi \frac{\text{Ra}}{\text{Vm}} T \right) + \frac{1}{r} \frac{\partial}{\partial z} C \right], \\ \text{div} \mathbf{v} &= 0, \end{aligned} \quad (2)$$

где \mathbf{v} — скорость, p — отклонение давления от гидростатического. Уравнения (2) содержат безразмерные параметры: $\text{Pr} = \nu/\chi$ — число Прандтля (ν — коэффициент кинематической вязкости), $\text{Le} = D/\chi$ — число Льюиса, $\text{Ra} = g\alpha\Theta d^3/\nu\chi$ — число Рэлея, $\psi = S_T\alpha/\beta$ — параметр разделения смеси, $\text{Vm} = g\beta C_* d^4/\nu\chi l$ — число Больцмана [12], $1/r = d/l$ — отношение толщины слоя к седиментационной длине, D — коэффициент диффузии, S_T — коэффициент термодиффузии Соре.

Рассматривается реализуемый в эксперименте случай твердых, идеально теплопроводящих непроницаемых горизонтальных границ слоя, на которых

выполняется условие прилипания (равенство нулю вектора скорости) и обращается в нуль поток вещества [11, 12]:

$$\begin{aligned} \mathbf{v}(x, 0) = \mathbf{v}(x, 1) = 0, \\ T(x, 0) = 0.5, \quad T(x, 1) = -0.5, \\ \frac{\partial C}{\partial z} + \psi \frac{\partial T}{\partial z} + \frac{1}{r} C = 0 \quad \text{при } z = 0, 1. \end{aligned} \quad (3)$$

Задача о нелинейной эволюции конвективного течения решалась в терминах функции тока Ψ и завихренности φ :

$$v_x = \frac{\partial \Psi}{\partial z}, \quad v_z = -\frac{\partial \Psi}{\partial x}, \quad \varphi = (\text{rot } \mathbf{v})_y. \quad (4)$$

Полная система нелинейных уравнений принимает вид

$$\begin{aligned} \frac{\partial \varphi}{\partial t} + \frac{\partial \Psi}{\partial z} \frac{\partial \varphi}{\partial x} - \frac{\partial \Psi}{\partial x} \frac{\partial \varphi}{\partial z} = \\ = \text{Pr} \cdot \Delta \varphi - \text{Pr} \cdot \text{Ra} \left(\frac{\partial T}{\partial x} - \frac{\text{Bm}}{\text{Ra}} \frac{\partial C}{\partial x} \right), \\ \Delta \Psi = 0, \\ \frac{\partial T}{\partial t} + \frac{\partial \Psi}{\partial z} \frac{\partial T}{\partial x} - \frac{\partial \Psi}{\partial x} \frac{\partial T}{\partial z} = \Delta T, \\ \frac{\partial C}{\partial t} + \frac{\partial}{\partial x} \left(C \frac{\partial \Psi}{\partial z} \right) - \frac{\partial}{\partial z} \left(C \frac{\partial \Psi}{\partial x} \right) = \\ = \text{Le} \left(\Delta C + \psi \frac{\text{Ra}}{\text{Bm}} \Delta T + \frac{1}{r} \frac{\partial}{\partial z} C \right). \end{aligned} \quad (5)$$

Уравнение для концентрации из системы (5) записано в консервативной форме. Граничные условия для функции тока на горизонтальных границах имеют вид

$$\Psi = \frac{\partial \Psi}{\partial z} = 0 \quad \text{при } z = 0, 1. \quad (6)$$

Рассматриваются решения задачи, периодические вдоль горизонтальной координаты с периодом $\lambda = 2\pi/k$ (k — волновое число пространственной конвективной структуры), что позволяет использовать следующие условия на вертикальных границах расчетной области:

$$\begin{aligned} \Psi(0, z) = \Psi(\lambda, z), \quad \varphi(0, z) = \varphi(\lambda, z), \\ T(0, z) = T(\lambda, z), \quad C(0, z) = C(\lambda, z), \end{aligned} \quad (7)$$

и получать решение на одном пространственном периоде.

Задача решалась методом конечных разностей. При этом пространственные производные уравнений движения и теплопроводности аппроксимировались центральными разностями. Конечноразностная аппроксимация уравнения концентрации из системы (5) должна удовлетворять закону сохранения

массы. Это достигается использованием консервативной формы записи уравнения и аппроксимации его при помощи метода контрольного объема [21]. Конвективное слагаемое при этом аппроксимируется центральными разностями. Уравнение Пуассона решалось методом последовательной верхней релаксации. Решение строилось на сетке 82×41 . Проверочные расчеты проведены на сетке 122×61 .

3. МЕХАНИЧЕСКОЕ РАВНОВЕСИЕ

В состоянии механического равновесия, когда отсутствует макроскопическое течение жидкости, равновесные распределения температуры и концентрации описываются уравнениями

$$\begin{aligned} \Delta T = 0, \\ \frac{\partial}{\partial z} C + S_T \frac{\partial T}{\partial z} + \frac{1}{l} C = 0, \end{aligned} \quad (8)$$

которые для удобства записаны в размерной форме. Также необходимо учитывать постоянство средней концентрации:

$$\frac{1}{d} \int_0^d C dz = C_*. \quad (9)$$

С учетом граничных условий (3) распределение температуры принимает вид

$$T = \Theta(0.5 - z/d). \quad (10)$$

Подставляя данное распределение температуры в уравнение (8), получим

$$\frac{\partial}{\partial z} C - \frac{S_T \Theta}{d} + \frac{1}{l} C = 0. \quad (11)$$

Решением уравнения (11) с условием постоянства средней концентрации примеси является

$$C = \left(\frac{C_* d}{l} - S_T \Theta \right) \frac{e^{-z/l}}{1 - e^{-d/l}} + \frac{S_T \Theta l}{d}. \quad (12)$$

В предельном случае отсутствия гравитационной седиментации (для молекулярных смесей седиментационная длина стремится к бесконечности) выражение (12) сводится к уравнению

$$C = C_* - S_T \Theta \left(\frac{1}{2} - \frac{z}{d} \right), \quad (13)$$

характеризующему только термодиффузионное расслоение. В случае отсутствия термодиффузии из (12) получим

$$C = \frac{C_* d}{l} \frac{e^{-z/l}}{1 - e^{-d/l}}, \quad (14)$$

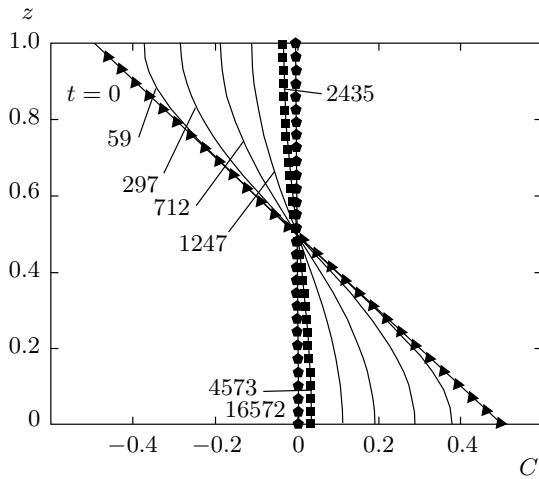


Рис. 1. Механическое равновесие. Профили концентрации в различные моменты времени. $Vm = 17850$, $Ra = 1785$, $Le = 10^{-4}$, $\psi = 10$, $1/r = 30$

что в случае малости толщины слоя по отношению к седиментационной длине ($h \ll l$) дает линейный профиль концентрации:

$$C = C_* + \frac{C_* h}{l} \left(\frac{1}{2} - \frac{z}{h} \right). \quad (15)$$

В безразмерной форме распределения температуры (10) и концентрации (12) принимают вид

$$T = 0.5 - z, \quad (16)$$

$$C = \frac{e^{-z/r}}{1 - e^{-1/r}} \left(1 - \frac{\psi Ra}{Vm} \right) + \frac{r\psi Ra}{Vm}.$$

Как видно из (16), при выполнении условия $\psi Ra / Vm = 1$ стационарное распределение концентрации в покоящемся слое жидкости является однородным. Термодиффузионный ток тяжелых частиц к холодной верхней границе компенсирует гравитационное оседание. На рис. 1 приведены в различные моменты времени профили концентрации, которые получены путем решения методом конечных разностей одномерных уравнений $\partial/\partial x = 0$, которые получаются из (6) в случае механического равновесия ($\Psi = 0$). В качестве начальных условий задавался равновесный гравитационный профиль концентрации в отсутствие градиента температуры. Если в слое первоначально установилось гравитационное распределение с преобладанием тяжелой примеси у нижней границы (рис. 1, $t = 0$), а затем приложен градиент температуры, соответствующий подогреву снизу, причем $\psi Ra = Vm$, то в конце концов устанавливается однородная концентрация тяжелых частиц.

В случае $\psi Ra > Vm$ в состоянии механического равновесия преобладает термодиффузия, при нагреве нижней границы легкая компонента дрейфует в ту же сторону, создавая потенциально неустойчивое распределение плотности, на фоне которого может возникнуть стационарная конвекция. При $\psi Ra < Vm$ преобладает гравитационная седиментация, концентрация тяжелой примеси больше в нижних слоях жидкости. При этом, согласно результатам линейной теории [12], в случае $Vm > Ra^0 \psi$, ($Ra^0 = 1700$ — порог стационарной конвекции в однородной жидкости) конвекция в коллоидной суспензии возникает колебательным образом, и в результате эволюции возмущений в слое может возникнуть бегущая волна.

4. НЕЛИНЕЙНЫЕ КОНВЕКТИВНЫЕ РЕЖИМЫ

Расчеты нелинейных конвективных течений проводились для периодических течений с длиной волны $\lambda = 2$ и однородного начального распределения концентрации. Коллоидная суспензия характеризовалась следующими безразмерными параметрами: числом Льюиса $Le = 10^{-4}$ и числом Прандтля $Pr = 10$, а также параметром термодиффузии $\psi = 10$.

На рис. 2 приведены бифуркационные диаграммы, показывающие зависимости максимального значения функции тока Ψ_{max} от числа Рэлея Ra при различных значениях числа Больцмана Vm . Видно, что при $Vm < Vm_C \equiv \psi Ra^0 = 17000$ наблюдается мягкое возбуждение конвекции. При этом установившееся течение является стационарным. При $Vm > Vm_C$ течение возбуждается жестким образом (рис. 2б), а в слое может установиться устойчивый режим колебательной конвекции в виде бегущей волны. Данный режим качественно соответствует режиму бегущих волн в коллоидных жидкостях, стратифицированных в поле тяжести в отсутствие термодиффузии [13].

Зависимости частоты бегущей волны ω и максимального значения функции тока Ψ_{max} от числа Рэлея Ra для $Vm = 17300 > Vm_C$ приведены на рис. 2б. Фазовая скорость бегущей волны связана с частотой колебаний характеристик в фиксированной точке конвективной ячейки соотношением $v_{ph} = \omega/k$. С увеличением Ra интенсивность конвективного перемешивания растет, частота (фазовая скорость) бегущей волны уменьшается и обращается в нуль при некотором значении $Ra = Ra^*$. При этом в слое устанавливается режим стационар-

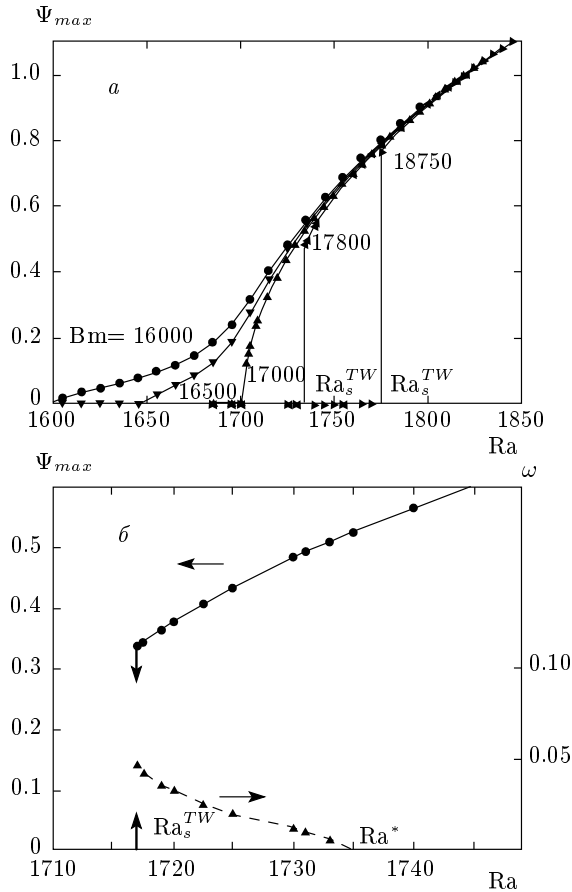


Рис. 2. Бифуркационные диаграммы для различных значений Bm (а) и для $Bm = 17300$ (б); $Le = 10^{-4}$, $\psi = 10$, $1/r = 30$

ной конвекции. С другой стороны, при уменьшении числа Рэлея и выполнении условия $Ra < Ra_s^{TW}$ бегущая волна теряет устойчивость, и после переходного процесса в слое устанавливается механическое равновесие. Таким образом, в интервале значений $Ra_s^{TW} < Ra < Ra^*$ наблюдается устойчивый режим бегущих волн.

Режим бегущих волн может формироваться в ходе реализации различных переходных процессов: 1) из режима стационарной однородной конвекции (рис. 3а) или 2) из неустойчивого режима стоячей волны (рис. 3б). В первом случае (рис. 3а) степень надкритичности достаточно высока ($Ra \leq Ra^*$), и за короткий промежуток времени в слое формируется интенсивный режим стационарной конвекции (максимальные значения функции тока в ячейке, Ψ_{max} , и функции тока в некоторой фиксированной точке, Ψ_{loc} , остаются постоянными во времени).

В дальнейшем ($t > 500$) конвективные валы приходят в движение, что отражается на измене-

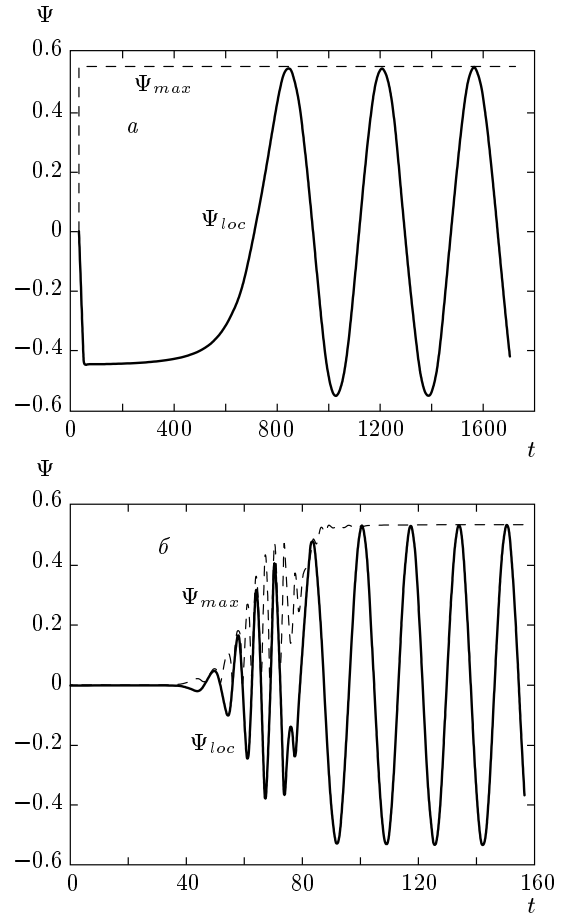


Рис. 3. Зависимости функции тока от времени при $Bm = 17534$, $Ra = 1740$ (а) и $Bm = 17800$, $Ra = 1739$ (б); $Le = 10^{-4}$, $\psi = 10$, $1/r = 30$

нии Ψ_{loc} со временем. В моменты времени, когда $\Psi_{loc} = \Psi_{max}$, через фиксированную точку проходит узел вертикальной скорости. При реализации второго сценария (рис. 3б) на первом непродолжительном этапе эволюции течения ($t < 70$) существуют стоячие волны с относительно высокой частотой колебаний. Затем режим стоячей волны теряет устойчивость и разрушается ($70 < t < 90$). В слое формируется режим бегущей волны, частота колебаний в котором значительно ниже.

Характерные поля отклонений концентрации δC и температуры δT от средних значений и функции тока Ψ для бегущей волны (в случае преобладания гравитационной стратификации $\psi Ra^{st} < Bm$, $Ra > Ra^{st}$) и монотонной конвекции (в случае термодиффузионного расслоения $\psi Ra^{st} > Bm$, $Ra < Ra^{st}$) приведены соответственно на рис. 4 и 5. Поскольку интенсивность конвективного движе-

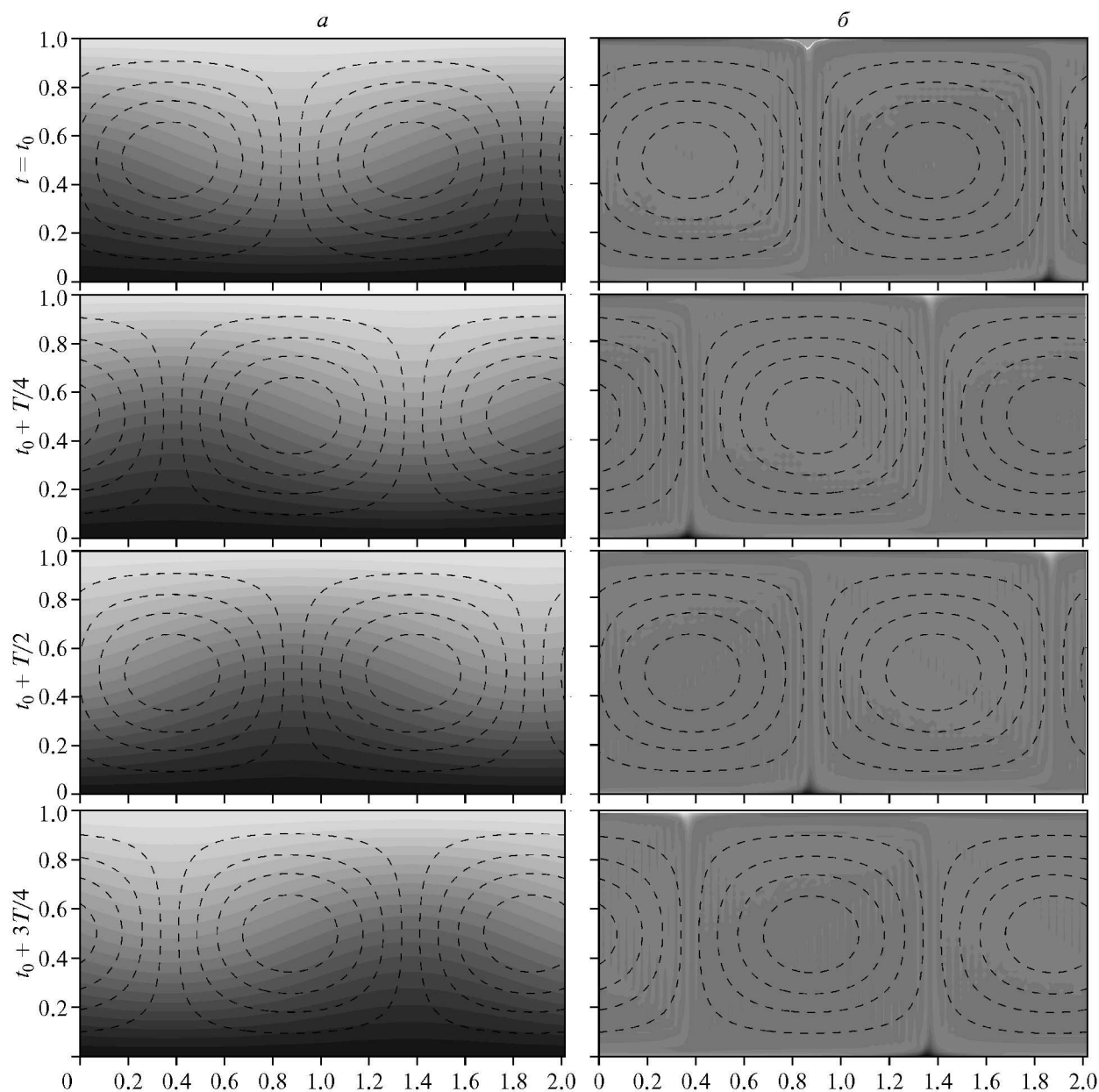


Рис. 4. Поля температуры (а) и концентрации (б) бегущей волны для $Le = 10^{-4}$, $Vm = 19000$, $Ra = 1795$. Штриховыми линиями обозначены изолинии функции тока; $\psi = 10$, $1/r = 30$

ния в первом случае в несколько раз больше, изотермы искривлены сильнее. Для иллюстрации движения бегущей волны изолинии температуры и концентрации на рис. 4 приведены в моменты времени, разделенные интервалами $T/4 = \pi/2\omega$, где T — период колебаний функции тока в фиксированной точке ячейки. Волна в данном случае движется слева направо: за четверть периода конвективная структура смещается вправо на четверть длины волны.

Из рис. 4 и 5 видно, что поля функции тока и температуры хорошо аппроксимируются первыми пространственными гармониками, в то время как поля концентрации имеют узкие погранслои, что подтверждает ошибочность предположения работы [14] о возможности описания поля концентрации первой пространственной гармоникой. Концентрация в ядре ячейки практически однородная, неоднородности проявляются только вблизи границ, причем зер-

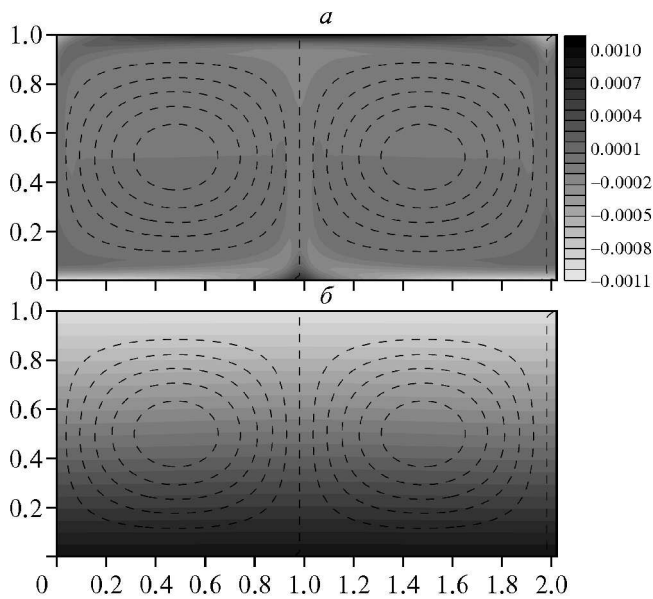


Рис. 5. Поля концентрации (а) и температуры (б) стационарной конвекции для $Le = 10^{-4}$, $Vm = 16500$, $Ra = 1655$. Штриховыми линиями обозначены изолинии функции тока; $\psi = 10$, $1/r = 30$

кально-сдвиговая симметрия, присущая бегущей в молекулярной бинарной смеси волне,

$$\delta C(x, z; t) = -\delta C(x + \lambda/2, 1 - z; t),$$

слабо искажается благодаря гравитационной стратификации (рис. 4а).

В случае монотонной конвекции (рис. 5) наблюдается зеркальная симметрия между конвективными валами, вращающимися в противоположных направлениях. На рис. 6 приведена зависимость критических чисел Ra^{st} и Ra_s^{TW} , соответствующих порогу стационарной и колебательной конвекции, от числа Больцмана. При $Vm < 17000$ наблюдается только режимы стационарной конвекции. Критическое число Рэлея Ra^{st} линейно зависит от Vm по закону $Ra^{st} = Vm/\psi$. Данный результат согласуется с результатами линейной теории [12]. При $Vm > 17000$ нарастают колебательные возмущения, и в интервале $Ra_s^{TW} < Ra < Ra^* = Ra^{st}$ существует режим бегущих волн.

5. ЗАКЛЮЧЕНИЕ

Изучена нелинейная эволюция и получены характеристики различных конвективных режимов, возникающих и существующих в коллоидной бинарной смеси при учете седиментации и положительной

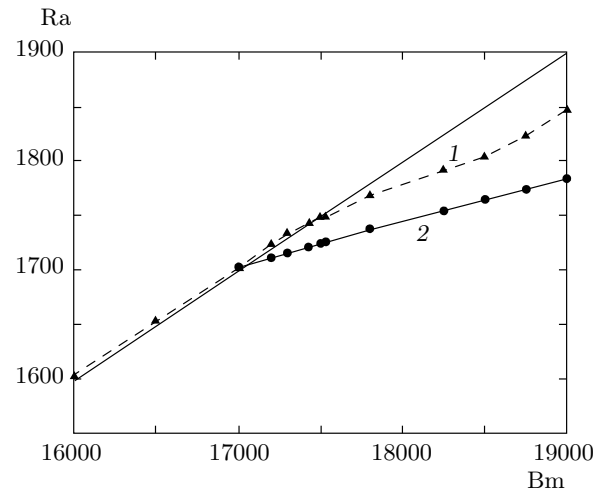


Рис. 6. Зависимости критических чисел Ra^{st} (кривая 1), Ra_s^{TW} (кривая 2) от Vm при $Le = 10^{-4}$, $\psi = 10$, $1/r = 30$. Прямая сплошная линия — $Ra = Vm/\psi$

термодиффузии — стационарной конвекции и бегущих волн. В пространстве параметров задачи найдены области существования данных режимов. Построены бифуркационные диаграммы решений в зависимости от степени надкритичности. Режим стоячей волны, согласно результатам моделирования, оказывается неустойчивым. Показано, что поле концентрации в режиме развитой конвекции коллоидной суспензии характеризуется сильным пространственным ангармонизмом, как и в случае молекулярной бинарной смеси.

Исследования выполнены при частичной финансовой поддержке РФФИ (грант № 10-01-96037) и РФФИ-Урал (грант № 13-01-96010).

ЛИТЕРАТУРА

1. G. Veronis, *Astrophys. J.* **137**, 641 (1963).
2. D. V. Kuznetsova and I. N. Sibgatullin, *Fluid Dynamics Res.* **44**, 031410 (2012).
3. M. C. Cross and P. C. Hohenberg, *Rev. Mod. Phys.* **65**, 851 (1993).
4. M. Lücke, W. Barten, P. Büchel et al., *Lecture Notes in Phys. Monographs* **55**, 127 (1998).
5. Л. Х. Ингель, *ЖЭТФ* **128**, 179 (2005).

6. Л. Х. Ингель, ЖЭТФ **122**, 1019 (2002).
7. В. Л. Смородин, В. И. Музникова, and I. O. Keller, *Lecture Notes in Phys.* **584**, 372 (2002).
8. В. Л. Смородин and M. Lücke, *Phys. Rev. E* **79**, 026315 (2009).
9. И. Г. Шапошников, ЖЭТФ **21**, 1309 (1951).
10. И. Г. Шапошников, УФН **28**, 119 (1952).
11. J. K. Platten and J. C. Legros, *Convection in Fluids*, Springer-Verlag, Berlin (1984).
12. M. I. Shliomis and В. Л. Смородин, *Phys. Rev. E* **71**, 036312 (2005).
13. В. Л. Смородин, I. N. Cherepanov, В. И. Музникова et al., *Phys. Rev. E* **84**, 026305 (2011).
14. A. Ryskin and H. Pleiner, *Int. J. Bifurcation and Chaos* **20**, 225 (2010).
15. G. Donzelli, R. Cerbino, and A. Vailati, *Phys. Rev. Lett.* **102**, 104503 (2009).
16. M. Bernardin, F. Comitani, and A. Vailati, *Phys. Rev. E* **85**, 066321 (2012).
17. M. I. Shliomis, В. Л. Смородин, and S. Kamiyama, *Phil. Mag.* **83**, 2139 (2003).
18. М. И. Шлиомис, УФН **112**, 427 (1974).
19. P. Kolodner, D. Bensimon, and C. M. Surko, *Phys. Rev. Lett.* **60**, 1723 (1988).
20. Л. Д. Ландау, Е. М. Лифшиц, *Теоретическая физика*, т. 6, *Гидродинамика*, Наука, Москва (1986).
21. П. Роуч, *Вычислительная гидродинамика*, Мир, Москва (1980).